

ВЕРШИННЫЕ ФУНКЦИИ КАК ФАКТОР УСИЛЕНИЯ МЕЖЭЛЕКТРОННОГО ПРИТЯЖЕНИЯ В d -ВОЛНОВОМ КАНАЛЕ ПРИ “КУЛОНОВСКОМ” МЕХАНИЗМЕ СВЕРХПРОВОДИМОСТИ

Э.А.Пашицкий, В.И.Пентегов

*Институт физики НАН Украины
01022 Киев, Украина*

Поступила в редакцию 7 сентября 2000 г.

После переработки 22 сентября 2000 г.

Показано, что в высокотемпературных сверхпроводниках на основе слоистых купратных металлооксидов многочастичные кулоновские корреляции, описываемые кулоновскими вершинными функциями Γ_c , приводят к существенному усилению эффективного межэлектронного притяжения в d -волновом куперовском канале. Это притяжение возникает благодаря совместному действию сильной анизотропии квазидвумерного электронного спектра в плоскости слоев и эффекта подавления экранированного кулоновского отталкивания при малых передаваемых импульсах в результате малоуглового рассеяния носителей тока на длинноволновых флуктуациях зарядовой плотности. Такой “кулоновский” механизм анизотропного куперовского спаривания способен обеспечить высокие значения критической температуры перехода в сверхпроводящее состояние $T_c \geq 100$ К при оптимальном уровне допирования купратов.

PACS: 74.20.-z, 74.72.Bk

1. Характерной особенностью высокотемпературных сверхпроводников (ВТСП) на основе слоистых купратных металлооксидных соединений (МОС) является экспериментально наблюдаемая $d_{x^2-y^2}$ -симметрия сверхпроводящего параметра порядка [1–3]. Возможность такой симметрии сверхпроводящей щели в ВТСП обсуждалась в [4] в рамках узельного представления модели Хаббарда, а затем в работах [5–7], в которых рассматривалась модель почти антиферромагнитной квазидвумерной ферми-жидкости с сильными спиновыми корреляциями. Однако в электрон-электронном взаимодействии, наряду с обменным (спин-флуктуационным) каналом, существует также прямой кулоновский (зарядово-флуктуационный) канал, который не учитывался в [4–7].

В работах [8, 9] в приближении хаотических фаз было показано, что протяженные седловые особенности (СО), существующие в квазидвумерном зонном спектре слоистых кристаллов купратных МОС [10, 11], приводят к сильной анизотропии эффективной массы и групповой скорости квазичастиц вблизи поверхности Ферми и могут служить причиной появления в коллективном электронном спектре длинноволновых низкочастотных сильно затухающих возбуждений электронной плотности с акустическим законом дисперсии ($\omega_q \propto q$ при $q \rightarrow 0$). Такие возбуждения аналогичны акустическим плазмонам [12] в многозонных металлах с многосвязной анизотропной поверхности Ферми, а также в многодолинных вырожденных полупроводниках и полуметаллах [13–15].

Как было показано в [9], малоугловое неупругое рассеяние электронов на длинноволновых коллективных флуктуациях зарядовой плотности (ФЗП) в купратных МОС с протяженными СО в 2D зонном спектре приводит к ослаблению экранированного

кулоновского отталкивания в области малых передаваемых импульсов q . В сочетании с сильной анизотропией спектра квазичастиц в плоскости слоев, обусловленной протяженными СО, минимум кулоновского отталкивания при малых q (так же, как и максимум отталкивания в углах зоны Бриллюэна [7]) приводит к эффективному межэлектронному притяжению в d -волновом куперовском канале.

В настоящей работе показано, что такое анизотропное притяжение, обусловленное обменом виртуальными длинноволновыми ФЗП, так же, как и электрон-плазмонное взаимодействие (ЭПВ) в изотропном s -волновом канале (см. [16, 17]), существенно усиливается благодаря многочастичным кулоновским корреляциям типа эффектов локального поля, которые описываются кулоновскими вершинными функциями Γ_c . В результате этого такой "кулоновский" механизм куперовского спаривания даже без учета других взаимодействий (электрон-фононного, электрон-магнонного) способен обеспечить высокие значения критической температуры $T_c \geq 100$ К перехода в сверхпроводящее состояние с $d_{x^2-y^2}$ -симметрией параметра порядка при оптимальном уровне допирования купратных МОС.

2. Будем исходить из уравнений стандартной теории сверхпроводимости для нормальной и аномальной собственно-энергетических частей в приближении сильной связи [18], в которых в качестве межэлектронного взаимодействия используется только экранированное кулоновское взаимодействие с учетом эффектов запаздывания, обусловленных обменом виртуальными плазмонами (длинноволновыми ФЗП).

Поскольку основной вклад в эффективное взаимодействие между квазичастицами вносят коллективные плазмонные моды с частотами $\Omega \gg T_c$, линейризованное вблизи критической температуры интегральное уравнение для перенормированной анизотропной СП щели на ПФ в приближении сильной связи приводится к виду

$$Z_c(\mathbf{k}_{||}, 0) \Delta(\mathbf{k}'_{||}) = -\frac{1}{2} \int \frac{d^2 k'_{||}}{(2\pi)^2} \frac{\Delta(\mathbf{k}'_{||})}{\tilde{\xi}(\mathbf{k}'_{||})} \left\langle \tilde{V}_c(\mathbf{k} - \mathbf{k}', 0) \right\rangle_{\perp} \times \\ \times \Gamma_c^2(\mathbf{k}_{||}, 0; \mathbf{k}_{||} - \mathbf{k}'_{||}, 0) \text{Th} \frac{\tilde{\xi}(\mathbf{k}'_{||})}{2T_c}. \quad (1)$$

Здесь $Z_c(\mathbf{k}_{||}, 0)$ – кулоновский ренормализационный фактор на ПФ, который возникает благодаря запаздывающему ЭПВ, $\tilde{\xi}(\mathbf{k}_{||}) = \xi(\mathbf{k}_{||})/Z_c(\mathbf{k}_{||}, 0)$ – отсчитываемая от уровня Ферми перенормированная энергия электронов с продольным импульсом $\mathbf{k}_{||}$ в плоскости слоев, $\Gamma_c(\mathbf{k}_{||}, 0; \mathbf{k}_{||} - \mathbf{k}'_{||}, 0)$ – кулоновская вершинная функция в статическом пределе, а $\left\langle \tilde{V}_c(\mathbf{k} - \mathbf{k}', 0) \right\rangle_{\perp}$ – усредненный по поперечному передаваемому импульсу q_z матричный элемент статического экранированного кулоновского отталкивания (ЭКО).

Следует подчеркнуть, что квадрат нормальной кулоновской вершины Γ_c в правой части уравнения (1) возникает благодаря учету аномальных кулоновских вершин $\tilde{\Gamma}_c$ (см. [19, 20]) и способствует существенному усилению как кулоновского отталкивания, так и эффективного межэлектронного притяжения, обусловленного запаздывающим ЭПВ.

Точное вычисление вершинной функции Γ_c не представляется возможным ввиду отсутствия малого параметра для кулоновского взаимодействия в реальных системах. Поэтому для оценки кулоновской вершины при ненулевых температурах $T \neq 0$ воспользуемся аппроксимацией Намбу [21, 22], которая удовлетворяет тождеству

Уорда [23] при $q \rightarrow 0$ и в мацубаровском представлении имеет вид

$$\Gamma_c(\mathbf{k}_{||}, \omega_n; \mathbf{q}_{||}, \nu_m) = \frac{1}{2} [Z_c(\mathbf{k}_{||} + \mathbf{q}_{||}, \omega_n + \nu_m) + Z_c(\mathbf{k}_{||}, \omega_n)], \quad (2)$$

где

$$Z_c(\mathbf{k}_{||}, \omega_n) = 1 - \frac{\text{Im}\Sigma_c(\mathbf{k}_{||}, \omega_n)}{\omega_n}, \quad (3)$$

а Σ_c – нормальная собственно-энергетическая часть, которая определяется уравнением

$$\begin{aligned} \Sigma_c(\mathbf{k}_{||}, \omega_n) = & -\frac{T}{a^2 N^2} \sum_{\omega'_n} \sum_{\mathbf{k}'_{||}} \langle \tilde{V}_c(\mathbf{k} - \mathbf{k}', \omega_n - \omega'_n) \rangle_{\perp} G(\mathbf{k}'_{||}, \omega'_n) \times \\ & \times \Gamma_c(\mathbf{k}_{||}, \omega_n; \mathbf{k} - \mathbf{k}', \omega_n - \omega'_n) \end{aligned} \quad (4)$$

Здесь $\nu_m = 2m\pi T$ и $\omega_n = (2n + 1)\pi T$ – бозонные и фермионные дискретные частоты ($m, n = 0, \pm 1, \pm 2, \dots$), a – постоянная решетки, N^2 – число дискретных значений импульса в пределах первой зоны Бриллюэна, $G(\mathbf{k}_{||}, \omega_n)$ – одноэлектронная функция Грина, а $\langle \tilde{V}_c(\mathbf{k} - \mathbf{k}', \omega_n - \omega'_n) \rangle_{\perp}$ – усредненный матричный элемент запаздывающего ЭКО, определяющийся перенормированным поляризационным оператором электронов:

$$\begin{aligned} \tilde{\Pi}_e(\mathbf{q}_{||}, \nu_m) = & -\frac{2T}{a^2 N^2} \sum_{\omega_n} \sum_{\mathbf{k}_{||}} G(\mathbf{k}_{||}, \omega_n) G(\mathbf{k}_{||} + \mathbf{q}_{||}, \omega_n + \nu_m) \times \\ & \times \Gamma_c(\mathbf{k}_{||}, \omega_n; \mathbf{q}_{||}, \nu_m). \end{aligned} \quad (5)$$

Численное решение системы уравнений (2)–(5) проводилось с помощью самосогласованного метода быстрого разложения Фурье на решетке, содержащей $N \times N = 4096$ точек в 2D зоне Бриллюэна и до 2048 точек на мнимой частотной оси с последующим аналитическим продолжением на вещественную ось ω с использованием многоточечных аппроксимаций Паде.

В качестве исходного спектра электронов $E(\mathbf{k}_{||})$ выбиралась антисвязывающая ветвь $E_-(k_x, k_y)$ эмпирического 2D зонного спектра купратных слоев CuO_2 (рис.1), который был предложен в работе [11] на основе данных ARPES экспериментов для кристаллов Y-123.

Перенормированный электронный спектр $\tilde{E}_-(k_x, k_y)$, соответствующий полюсу одноэлектронной функции Грина и показанный на рис.1 штриховой кривой, характеризуется ярко выраженными протяженными СО вблизи симметричных точек $(\pm\pi, 0)$ и $(0, \pm\pi)$.

На рис.2 представлена импульсная зависимость статической кулоновской вершины $\Gamma_c(\mathbf{k}_{||}, 0; \mathbf{q}_{||}, 0)$ при $k_x = k_y$, $k = k_F$ (где k_F – импульс Ферми). На рис.2а показана зависимость Γ_c от (q_x, q_y) , полученная на основе эмпирического спектра [11] в рамках аппроксимации (2). Для сравнения на рис.2б приведена аналогичная зависимость для величины $1 + \Gamma_c^{(1)}$, где $\Gamma_c^{(1)}$ – первая поправка перенормированной теории возмущений к кулоновской вершинной функции:

$$\Gamma_c^{(1)}(\mathbf{k}_{||}, \omega_n; \mathbf{q}_{||}, \nu_m) = \frac{T}{a^2 N^2} \sum_{\omega'_n} \sum_{\mathbf{k}'_{||}} \tilde{V}_c(\mathbf{k}_{||} - \mathbf{k}'_{||}, \omega_n - \omega'_n) \times$$

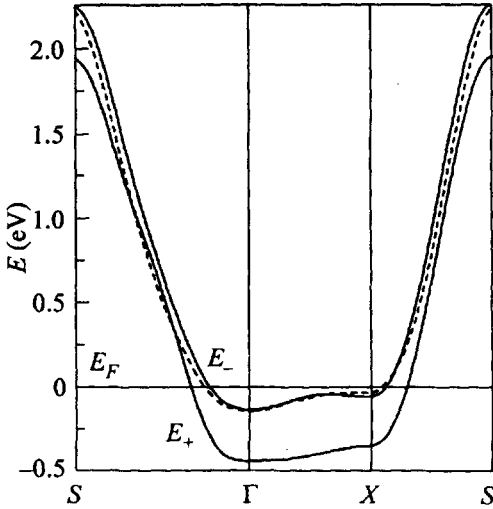


Рис.1. Связывающая, $E_+(k_x, k_y)$, и антисвязывающая, $E_-(k_x, k_y)$, ветви (сплошные линии) эмпирического зонного спектра, предложенного в [11] для купратных 2D слоев кристалла Y-123. Штриховой кривой показан перенормированный за счет межэлектронного взаимодействия спектр $\bar{E}_-(k_x, k_y)$

$$\times G(\mathbf{k}'_{\parallel} + \mathbf{q}_{\parallel}, \omega'_n + \nu_m) G(\mathbf{k}'_{\parallel}, \omega'_n). \quad (6)$$

Как видим, оба приближения – аппроксимация Намбу (2) и учет первой поправки (6) – приводят к сходным импульсным зависимостям $\Gamma_c(\mathbf{k}_{\parallel}, 0; \mathbf{q}_{\parallel}, 0)$ и почти совпадающим средним значениям $\bar{\Gamma}_c$, что может свидетельствовать о достаточно быстрой сходимости диаграммного ряда для Γ_c .

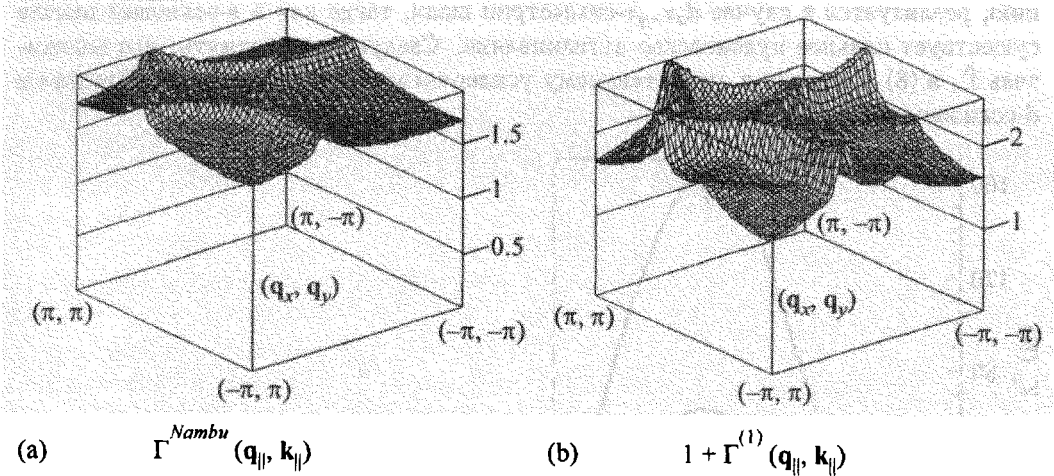


Рис.2. Зависимость кулоновской вершинной функции от \mathbf{q} при $k_x = k_y$, $k = k_F$ в статическом пределе: (а) $\Gamma_c(\mathbf{k}_{\parallel}, \mathbf{q}_{\parallel})$ в рамках аппроксимации Намбу (2); (б) $1 + \Gamma_c^{(1)}(\mathbf{k}_{\parallel}, \mathbf{q}_{\parallel})$

Расчеты показывают, что вариации Z_c и Γ_c в пределах ЗБ не превышают 10%. Поэтому с хорошей точностью в уравнении (1), а также в (5), можно заменить функции Z_c и Γ_c их усредненными по зоне Бриллюэна значениями \bar{Z}_c и $\bar{\Gamma}_c$. При этом в силу соотношений (2) и (3) можно положить

$$\bar{\Gamma}_c = \bar{Z}_c \equiv (1 + \bar{\lambda}_{pl}), \quad (7)$$

где $\bar{\lambda}_{pl}$ – усредненная безразмерная константа связи, описывающая изотропное ЭПВ в s -волновом куперовском канале (см. [16, 17]). Согласно проведенным вычислениям, величина $\bar{\Gamma}_c = \bar{Z}_c \approx 2.2$, что соответствует изотропной плазмонной константе связи $\bar{\lambda}_{pl} \approx 1.2$.

3. Критическая температура СП перехода определяется собственными значениями линеаризованного интегрального уравнения (1) для щели на поверхности Ферми, которое при переходе к угловым переменным может быть представлено в следующем виде:

$$\Delta(\varphi) = \bar{\Gamma}_c \int_0^{2\pi} \frac{d\varphi}{2\pi} K(\varphi, \varphi') \Delta(\varphi') \int_0^{\bar{E}_F} \frac{d\bar{\xi}}{\bar{\xi}} \text{Th} \frac{\bar{\xi}}{2T_c}, \quad (8)$$

где

$$K(\varphi, \varphi') = -\nu(\varphi') \cdot \bar{V}_c(\varphi, \varphi'). \quad (9)$$

Здесь $\Delta(\varphi) \equiv \Delta(\mathbf{k}_F(\varphi))$, \bar{E}_F – перенормированная энергия Ферми, φ и φ' – углы между $\mathbf{k}_{||}$ и $\mathbf{k}'_{||}$ и осью a (или b) кристалла в плоскости слоев, $\nu(\varphi')$ – зависящая от угла электронная плотность состояний (ПС) на анизотропной поверхности Ферми, а $\bar{V}_c(\varphi, \varphi')$ – усредненный по q_z матричный элемент статического ЭКО.

Решение уравнения (8) получено путем разложения ядра $K(\varphi, \varphi')$ и щели $\Delta(\varphi)$ в ряды Фурье по φ и φ' [6]. Благодаря двум эффектам: а) подавлению статического ЭКО при малых передаваемых импульсах за счет длинноволновых ФЗП (см. [8, 9]) и б) сильной анизотропии электронного спектра в плоскости 2D слоев с максимальной ПС в области протяженных СО, структура анизотропного ядра (9) такова, что его максимальное положительное собственное значение, соответствующее притяжению, реализуется в случае $d_{x^2-y^2}$ -симметрии щели, тогда как в s -волновом канале существует сильное кулоновское отталкивание. Следует подчеркнуть, что множитель $\bar{\Gamma}_c$ в (8) приводит к существенному усилению межэлектронного притяжения в d -волновом куперовском канале.

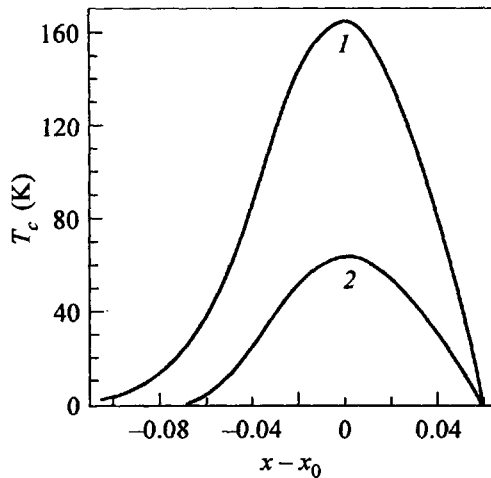


Рис.3. Зависимости T_c от x при $\epsilon_\infty = 4$ (кривая 1) и $\epsilon_\infty = 6$ (кривая 2)

На рис.3 показаны зависимости T_c от приведенной концентрации x допированных носителей тока (дырок) для разных значений высокочастотной диэлектрической проницаемости ϵ_∞ , которая определяется межзонными электронными переходами. Эти

зависимости имеют максимум в точке $x = x_0$, соответствующей положению уровня Ферми вблизи дна протяженных СО, и качественно согласуются с экспериментальными данными для купратных МОС.

Таким образом, даже без учета дополнительных механизмов куперовского спаривания (фононного, магнного и др.) рассмотренный в данной работе “кулоновский” механизм ВТСП с d -симметрией параметра порядка способен обеспечить достаточно высокие значения максимальной критической температуры $T_c \geq 100$ К при оптимальном допировании благодаря эффективному увеличению (более чем вдвое по сравнению с приближением хаотических фаз [8, 9]) константы связи за счет многочастичных кулоновских корреляций (типа эффектов локального поля), которые описываются вершинной функцией Γ_c .

-
1. D.A.Wollman, D.J. Van Harlingen, J.Giapintzakis et al., Phys. Rev. Lett. **74**, 797 (1995).
 2. C.C.Tsuei, J.R.Kirtley, Z.F.Ren et al., Nature **387**, 481 (1997).
 3. M.R.Norman, M.Randeria, H.Ding et al., Phys. Rev. **B52**, 15107 (1995).
 4. D.J.Scalapino, E.Loh, and J.E.Hirsch, Phys. Rev. **B35**, 6694 (1987).
 5. A.J.Millis, H.Monien, and D.Pines, Phys. Rev. **B42**, 167 (1990).
 6. T.Moriya, Y.Takahashi, and K.Ueda, J. Phys. Soc. Jpn. **59**, 1905 (1990).
 7. P.Monthoux and D.Pines, Phys. Rev. **B47**, 6069 (1993).
 8. E.A.Pashitskii, V.I.Pentegov, A.V.Semenov, and E.Abraham, Int. J. Mod. Phys. **B12**, 2946 (1998).
 9. Э.А.Пашицкий, В.И.Пентегов, А.В.Семенов, Э.Абрахам, Письма в ЖЭТФ **69**, 703 (1999).
 10. K.Gofron, J.C.Campuzano, A.A.AbrikosoV et al., Phys. Rev. Lett. **73**, 3302 (1994).
 11. M.C.Schabel, C.-H.Park, A.Matsuura et al., Phys. Rev. **B57**, 6090 (1998).
 12. D.Pines, Canad. J. Phys. **34**, 1379 (1956).
 13. О.В.Константинов, В.И.Перель, ФТТ **9**, 3061 (1967).
 14. Э.А.Пашицкий, ЖЭТФ **55**, 2387 (1968).
 15. J.Ruvalds, Adv. Phys. **30**, 677 (1981).
 16. Э.А.Пашицкий, Письма в ЖЭТФ **57**, 639 (1993); ЖЭТФ **103**, 867 (1993).
 17. Э.А.Пашицкий, ФНТ **21**, 995, 1091 (1995).
 18. Г.М.Элиашберг, ЖЭТФ **38**, 966 (1960); **39**, 1437 (1960).
 19. О.Долгов, Е.Г.Максимов, УФН **138**, 95 (1982).
 20. O.V.Dolgov, D.A.Kirzhnits, and E.G.Maksimov, Rev. Mod. Phys. **53**, 81 (1981).
 21. Y.Nambu, Phys. Rev. **117**, 648 (1960).
 22. Y.Takada, J. Phys. Chem. Solids **54**, 1779 (1993).
 23. J.M.Luttinger and J.C.Ward, Phys. Rev. **118**, 1417 (1960).